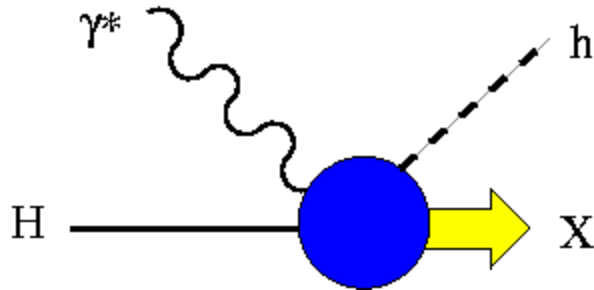


# Riassunto della lezione precedente

- verifica di QPM in reazioni elettrodeboli, regole di somma :
  1. Gottfried sum rule  $\rightarrow$   $SU_f(3)$  rotta per i quark del mare
  2. Momentum sum rule  $\rightarrow$  gluoni portano metà del momento dell'adrone
- verifica fattorizzazione tra sez. d'urto elementare e densità partoniche  
universalità di densità partoniche  $\rightarrow$  esplorare nuovi processi fondamentali
- Drell-Yan (DY) : cinematica, formule generali ; QPM picture  $\rightarrow$  test  $SU(3)_c$
- test sperimentali del QPM in DY :  
scaling di sezione d'urto in s; rapporto di carica su nuclei isoscalari  
distribuzione angolare della coppia leptonica; violazione Lam-Tung sum rule  
K factor
- $e^+e^-$  inclusivo: formalismo e interpretazione in QPM  
scaling della sezione d'urto totale; rapporto R  $\rightarrow$  test di  $SU_c(3)$  e  $SU_f(N_f)$
- $e^+e^-$  semi-inclusivo: formalismo e interpretazione in QPM  
distribuzione angolare dell'adrone rivelato  
funzione di frammentazione incognita da confronto con dati

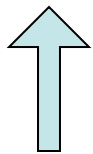
# Semi-inclusive DIS (SIDIS)



stesse definizioni del caso inclusivo per cinematica e invarianti con in più

$$z_h = \frac{P \cdot P_h}{P \cdot q}$$

$z > 0$   $P_h$  equiverso a  $P \rightarrow h$  viene da frammentazione di partone



current fragmentation region

$z < 0$   $P_h$  opposto a  $P \rightarrow h$  viene da frammentazione del bersaglio H  
target fragmentation region

N.B. in TRF  $z \sim \frac{ME_h}{M\nu} = \frac{E_h}{\nu}$

# SIDIS

$$\mathcal{F} = 4\sqrt{(P \cdot k)^2 - P^2 k^2} \stackrel{\text{TRF}}{=} 4ME \equiv 2s$$

$$d\sigma = \frac{1}{\mathcal{F}} |\mathcal{M}|^2 dR$$

$$dR = (2\pi)^4 \delta(k + P - k' - P_X - P_h) \frac{d\mathbf{P}_X}{(2\pi)^3 2P_X^0} \frac{d\mathbf{k}}{(2\pi)^3 2E'} \frac{d\mathbf{P}_h}{(2\pi)^3 2E_h}$$

$$|\mathcal{M}|^2 = \frac{e^4}{Q^4} L_{\mu\nu} H_{1PI}^{\mu\nu} \begin{cases} L_{\mu\nu} = 2(k_\mu k'_\nu + k'_\mu k_\nu - k \cdot k' g_{\mu\nu}) \\ H_{1PI}^{\mu\nu} = \frac{1}{2} \sum_{SS_h} \langle PS | J^\mu | P_X, P_h S_h \rangle \langle P_X, P_h S_h | J^\nu | PS \rangle \end{cases}$$

$$\begin{aligned} 2E_h \frac{d\sigma}{d\mathbf{P}_h dE' d\Omega} &= \frac{1}{4ME} \frac{E'}{16\pi^3} \frac{e^4}{Q^4} L_{\mu\nu} \frac{1}{(2\pi)^3} \int \frac{d\mathbf{P}_X}{(2\pi)^3 2P_X^0} (2\pi)^4 \delta(k + P - k' - P_X - P_h) H_{1PI}^{\mu\nu} \\ &= \frac{\alpha^2}{Q^4} \frac{E'}{E} L_{\mu\nu} \frac{1}{2M} 2M W_{1PI}^{\mu\nu} \end{aligned}$$



N.B. cross-check  $\frac{d\sigma}{dE' d\Omega} = \int \frac{d\mathbf{P}_h}{2E_h} 2E_h \frac{d\sigma}{d\mathbf{P}_h dE' d\Omega} = \frac{\alpha^2}{Q^4} \frac{E'}{E} L_{\mu\nu} W^{\mu\nu}$

## SIDIS (continua)

$$\frac{d\mathbf{k}'}{(2\pi)^3 2E'} = \frac{E' dE' d\Omega}{16\pi^3} = \frac{\pi y dx_B dy}{16\pi^3}$$

$$\frac{d\mathbf{P}_h}{2E_h} \sim d\mathbf{P}_{h\perp} \frac{dE_h}{2E_h} \sim d\mathbf{P}_{h\perp} \frac{dz}{2z}$$



$$\frac{d\sigma}{d\mathbf{P}_{h\perp} dx_B dy dz} = \frac{\pi\alpha^2}{Q^4} \frac{y}{2z} L_{\mu\nu} 2M W_{1PI}^{\mu\nu}$$



$$\frac{d\sigma}{dx_B dy dz} = \frac{\pi\alpha^2}{Q^4} \frac{y}{2z} L_{\mu\nu} 2M \int d\mathbf{P}_{h\perp} W_{1PI}^{\mu\nu}$$



cruciale per fattorizzazione tra  
distribuzione e frammentazione

# QPM picture

$$\begin{aligned} \frac{d\sigma}{dx_B dy dz} &= \sum_{f=q,\bar{q}} \int_0^1 dx' dz' \phi_f(x') \frac{d\sigma^{(e^-q \rightarrow e^-q)}}{dx' dy} \left( \frac{x'}{x_B} \right) D_f(z') \delta \left( z - z' \frac{x'}{x_B} \right) \\ &= \frac{4\pi\alpha^2 s}{Q^4} \left( \frac{y^2}{2} + 1 - y \right) x_B \sum_{f=q,\bar{q}} e_f^2 \phi_f(x_B) D_f(z) \end{aligned}$$



N.B. cross-check

$$\begin{aligned} \frac{d\sigma}{dx_B dy} &= \int dz \frac{d\sigma}{dx_B dy dz} \Big|_{D_f(z)=\delta(1-z)} \\ &= \frac{4\pi\alpha^2 s}{Q^4} \left( \frac{y^2}{2} + 1 - y \right) x_B \sum_{f=q,\bar{q}} e_f^2 \phi_f(x_B) = \frac{4\pi\alpha^2 s}{Q^4} \left( 1 - y + \frac{y^2}{2} \right) F_2 \end{aligned}$$

Callan-Gross  
 $F_2 = 2 x_B F_1$

DIS inclusivo

# SIDIS

$$e^- p \rightarrow e'^- h^\pm X$$

$$\frac{1}{\sigma_{incl}} \frac{d\sigma}{dx_B dy dz} = \frac{\sum_f e_f^2 \phi_f(x_B) D_f(z)}{\sum_f e_f^2 \phi_f(x_B)} \sim D_u^h$$

# $e^+e^-$ semi-inclusivo

$$e^+ e^- \rightarrow h^\pm X$$

$$\frac{1}{\sigma_{incl}} \frac{d\sigma}{dz} = \frac{\sum_f e_f^2 D_f(z)}{\sum_f e_f^2} \sim D_u^h + D_{\bar{u}}^h$$

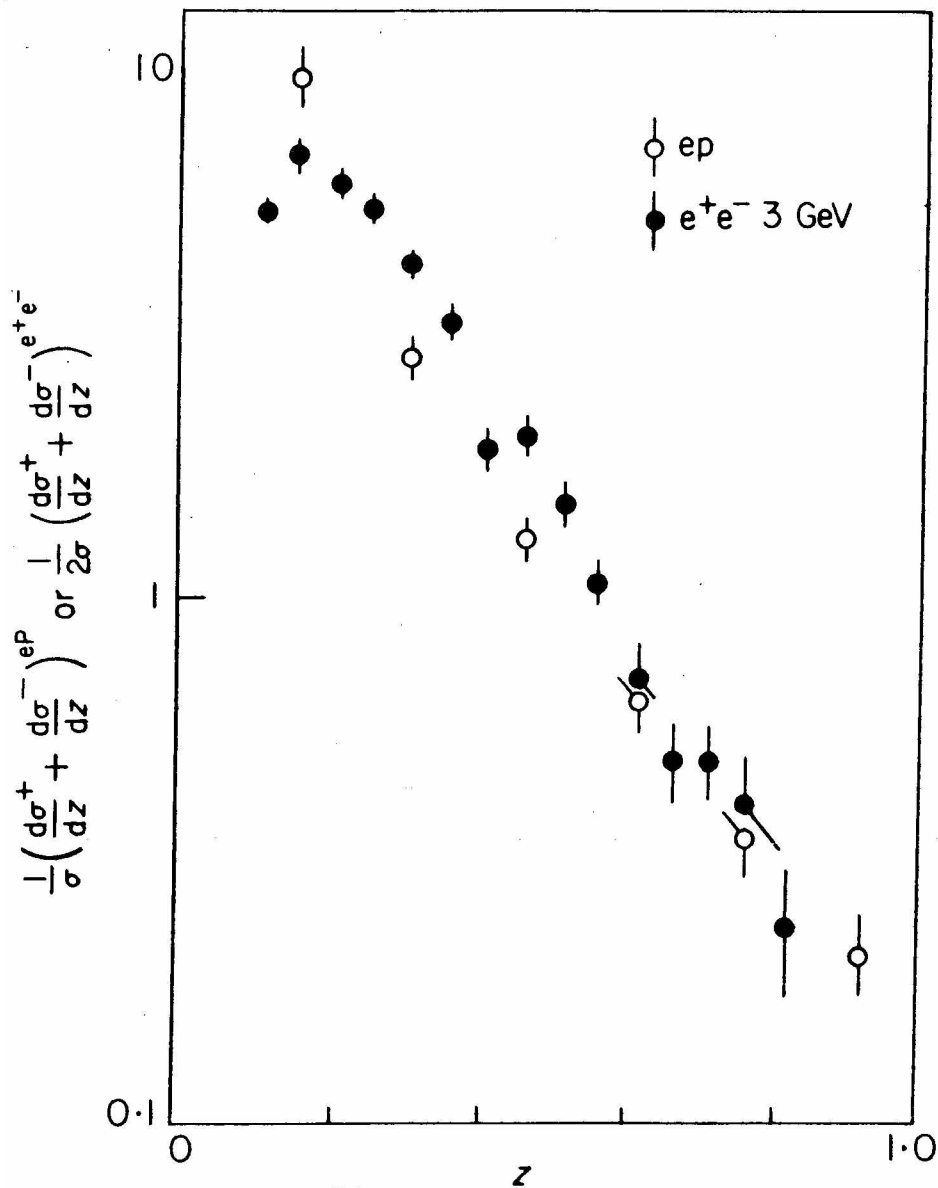
dominanza  $u$  quark

quindi

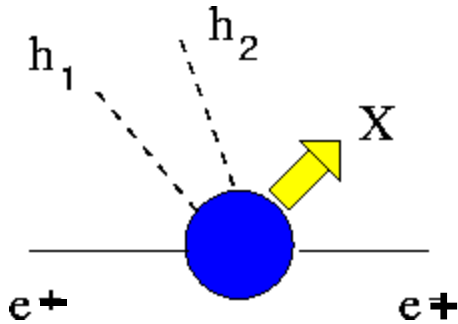


$$\frac{1}{\sigma_{incl}} \left( \frac{d\sigma^{h^+}}{dx_B dy dz} + \frac{d\sigma^{h^-}}{dx_B dy dz} \right) \Leftrightarrow \frac{1}{\sigma_{incl}} \frac{1}{2} \left( \frac{d\sigma^{h^+}}{dz} + \frac{d\sigma^{h^-}}{dz} \right) \sim D_u^{h^+} + D_{\bar{u}}^{h^-}$$

Gilman, Int. Symp. on lepton  
and photon interactions  
at high energies,  
SLAC (75)



# $e^+e^-$ semi-inclusivo in due adroni



$$z_1 = \frac{2P_1 \cdot q}{q^2} \quad z_2 = \frac{2P_2 \cdot q}{q^2}$$

$$d\sigma = \frac{1}{\mathcal{F}} |\mathcal{M}|^2 dR \quad |\mathcal{M}|^2 = \frac{e^4}{Q^4} L_{\mu\nu} H_{2PI}^{\mu\nu}$$

$$\mathcal{F} \stackrel{\text{TRF}}{=} 2Q^2 \equiv 2s \quad dR = (2\pi)^4 \delta(q - P_X - P_1 - P_2) \frac{d\mathbf{P}_X}{(2\pi)^3 2P_X^0} \frac{d\mathbf{P}_1}{(2\pi)^3 2E_1} \frac{d\mathbf{P}_2}{(2\pi)^3 2E_2}$$

$$\begin{aligned} 2E_1 2E_2 \frac{d\sigma}{d\mathbf{P}_1 d\mathbf{P}_2} &= \frac{1}{2} \frac{1}{2Q^2} \frac{1}{(2\pi)^2} \frac{e^4}{Q^4} L_{\mu\nu} \\ &\quad \times \frac{1}{(2\pi)^4} \int \frac{d\mathbf{P}_X}{(2\pi)^3 2P_X^0} (2\pi)^4 \delta(q - P_X - P_1 - P_2) H_{2PI}^{\mu\nu} \\ &= \frac{\alpha^2}{Q^6} L_{\mu\nu} W_{2PI}^{\mu\nu} \end{aligned}$$

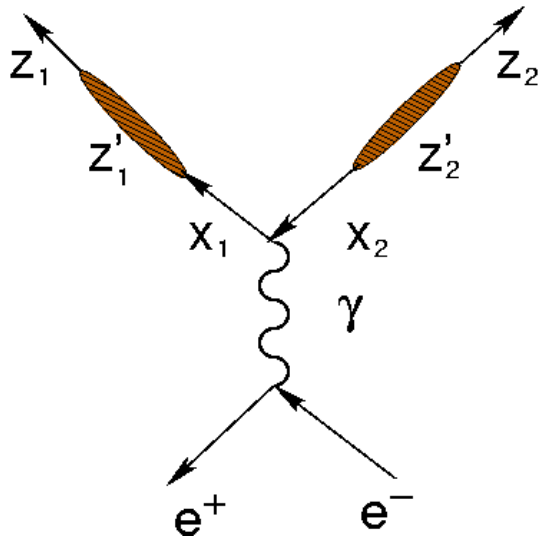


N.B. cross-check  $\int \frac{d\mathbf{P}_2}{2E_2} 2E_1 2E_2 \frac{d\sigma}{d\mathbf{P}_1 d\mathbf{P}_2} = 2E_1 \frac{d\sigma}{d\mathbf{P}_1} = \dots = \frac{\alpha^2}{Q^6} L_{\mu\nu} W_{1PI}^{\mu\nu}$



# QPM picture

$$\begin{aligned}
 \frac{d\sigma}{dydz_1dz_2} &= N_c \sum_{f=q,\bar{q}} \int_0^1 dx'_1 dx'_2 dz'_1 dz'_2 \frac{d\sigma^{el}}{dx'_1 dx'_2 dy} (e^+ e^- \rightarrow q\bar{q}) \\
 &\quad \times D_f(z'_1) \delta(z_1 - z'_1 x'_1) D_f(z'_2) \delta(z_2 - z'_2 x'_2) \\
 &= N_c \sum_f e_f^2 \int_0^1 dx'_1 dx'_2 dz'_1 dz'_2 \frac{d\sigma^{el}}{dy} (e^+ e^- \rightarrow \mu^+ \mu^-) \\
 &\quad \times \delta(1 - x'_1) D_f(z'_1) \delta(z_1 - z'_1 x'_1) \\
 &\quad \times \delta(1 - x'_2) D_f(z'_2) \delta(z_2 - z'_2 x'_2) \\
 &= N_c \frac{\pi\alpha^2}{Q^2} (1 + \cos^2 \theta) \sum_{f=q,\bar{q}} e_f^2 D_f(z_1) D_f(z_2)
 \end{aligned}$$



N.B. cross-check  $D_f(z_2) = \delta(1 - z_2)$  secondo adrone  $\equiv$  jet adronico

$$\int dz_2 \frac{d\sigma}{dydz_1dz_2} \Big|_{D_f(z_2)=\delta(1-z_2)} = \frac{d\sigma}{dydz} = N_c \frac{\pi\alpha^2}{Q^2} (1 + \cos^2 \theta) \sum_f e_f^2 D_f(z)$$

e<sup>+</sup>e<sup>-</sup> semi-inclusivo

Adesso  $D_f(z_1) = \delta(1 - z_1)$  anche primo adrone  $\equiv$  jet adronico

$$\int dz \frac{d\sigma}{dydz} \Big|_{D_f(z)=\delta(1-z)} = \frac{d\sigma^{jet}}{dy} = N_c \frac{\pi\alpha^2}{Q^2} (1 + \cos^2 \theta) \sum_f e_f^2$$

distribuzione angolare di tutti gli adroni  
nello stato finale  
=  
sezione d'urto di jet

$$\frac{d\sigma^{el}}{dy}(e^+e^- \rightarrow q\bar{q}) = \frac{\pi\alpha^2}{Q^2} \underline{(1 + \cos^2 \theta)} e_f^2$$

$$\frac{d\sigma}{dydz}(e^+e^- \rightarrow hX) = N_c \frac{\pi\alpha^2}{Q^2} \underline{(1 + \cos^2 \theta)} \sum_f e_f^2 D_f(z)$$

$$\frac{d\sigma}{dy}(e^+e^- \rightarrow \text{jets}) = N_c \frac{\pi\alpha^2}{Q^2} \underline{(1 + \cos^2 \theta)} \sum_f e_f^2$$

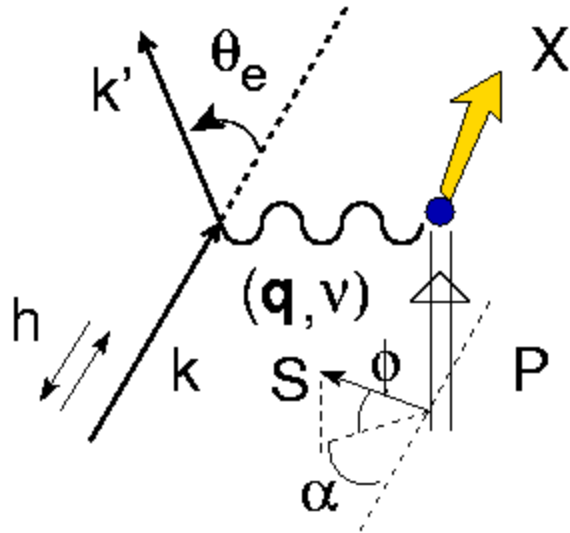
gli adroni sono “frammenti” dei partoni a spin 1/2 del processo elementare  
 eventi a molti adroni = gruppi di adroni con  $p_T$  limitato rispetto ad un certo asse

dato asse  $\theta$ , sfericità  $S = \frac{3 \sum_i p_{Ti}^2}{2 \sum_i p_i^2} \begin{cases} S = 1 & \text{sfera} \\ S = 0 & \text{jet} \end{cases} \quad S \xrightarrow{s \rightarrow \infty} 0$

adrone in stato finale con  $0 \leq z \leq 1$  si muove in un jet che rappresenta la direzione  $\theta$  del quark di frammentazione rispetto all'asse  $z$

la direzione del jet è data da processo elementare di QED !

# DIS inclusivo polarizzato



se  $S=0 \rightarrow$  violazione della parità  
 processo debole  $\rightarrow$  corrente  $V-A \rightarrow W^{\mu\nu}_A$

se  $S \neq 0 \rightarrow$  2 4-vettori  $P, q$  e  
 1 4-pseudovettore  $S$  indipendenti  
 struttura del tensore adronico più ricca

si sceglie  $S^\mu$  tale che  $S^2 = -1$  e  $S \cdot P = 0$

$$S^\mu = \frac{S \cdot q}{P \cdot q} \left( P^\mu - \frac{M^2}{P \cdot q} q^\mu \right) + S^\mu_\perp = \frac{\lambda}{M} \left( P^\mu - \frac{M^2}{P \cdot q} q^\mu \right) + S^\mu_\perp$$

elicità

$$\lambda = M \frac{S \cdot q}{P \cdot q}$$

$$S \cdot P = 0 \rightarrow S_\perp \cdot P = 0$$

$$S^2 \sim -(\lambda^2 + S_\perp^2) = -1$$



# Tensore adronico

$S = \frac{1}{2} \rightarrow W^{\mu\nu}$  è al più lineare in  $S$ , perchè è matrice  $2 \times 2$  in spazio di spin

$\Rightarrow$  espansione sulla base delle matrici  $\sigma$  di Dirac

$$W^{\mu\nu} = \sum_{\alpha\alpha'} W_{\alpha\alpha'}^{\mu\nu} \rho_{\alpha\alpha'} = \frac{1}{2} \sum_{\alpha\alpha'} W_{\alpha\alpha'}^{\mu\nu} (1 + \mathbf{P} \cdot \boldsymbol{\sigma})_{\alpha\alpha'}$$

matrice densità di spin del target

vettore di polarizzazione

$$P_i = \frac{N_+ - N_-}{N_+ + N_-} = \langle \sigma_i \rangle = \text{Tr}(\rho \sigma_i)$$

- $S^u$  coplanar with scattering plane  $\rightarrow \phi = 0$
- hermiticity del tensore
- invarianza per trasformazioni di parità
- invarianza per trasformazioni di time-reversal
- conservazione della corrente



# DIS polarizzato: tensore adronico

$$W^{\mu\nu} = W^{\mu\nu}_S + W^{\mu\nu}_A$$

$$W^{\mu\nu}_S = \left( -g^{\mu\nu} + \frac{q^\mu q^\nu}{q^2} \right) W_1 + \frac{\tilde{P}^\mu \tilde{P}^\nu}{M^2} W_2$$

$$W^{\mu\nu}_A = \frac{i}{M^2} \epsilon^{\mu\nu\rho\sigma} q_\rho [A_1 S_\sigma + A_2 P_\sigma]$$

$$\tilde{P}^\mu = P^\mu - \frac{P \cdot q}{q^2} q^\mu$$

↑ scalare      ↑ pseudoscalare

$$W^{\mu\nu}_A = \frac{i}{M^2} \epsilon^{\mu\nu\rho\sigma} q_\rho S_\sigma \left[ \underline{G_1(\nu, Q^2)} + \frac{P \cdot q}{M^2} \underline{G_2(\nu, Q^2)} \right]$$

$$- \frac{i}{M^2} \epsilon^{\mu\nu\rho\sigma} q_\rho P_\sigma \frac{S \cdot q}{M^2} G_2(\nu, Q^2)$$

$$= i \epsilon^{\mu\nu\rho\sigma} q_\rho P_\sigma \lambda \frac{G_1(\nu, Q^2)}{M^3}$$

$$+ i \epsilon^{\mu\nu\rho\sigma} q_\rho S_{\perp\sigma} \frac{1}{M^2} \left[ G_1(\nu, Q^2) + \frac{P \cdot q}{M^2} G_2(\nu, Q^2) \right]$$



# Ampiezza di scattering

leptone polarizzato con elicità  $h=\pm$

tensore leptónico :  $L_{\mu\nu} = L_{\mu\nu}^S \pm L_{\mu\nu}^A$

$$L_{\mu\nu}^S = 2k_\mu k'_\nu + 2k_\nu k'_\mu - 2k \cdot k' g_{\mu\nu}$$

$$L_{\mu\nu}^A = h 2i \varepsilon_{\mu\nu\rho\sigma} k^\rho q^\sigma$$

$$L_{\mu\nu}^S W^{\mu\nu}_S \rightarrow \frac{d\sigma^0}{dE' d\Omega} = \frac{4\alpha^2}{Q^4} E'^2 \left( 2 \sin^2 \frac{\theta_e}{2} W_1 + \cos^2 \frac{\theta_e}{2} W_2 \right)$$

$$L_{\mu\nu}^A W^{\mu\nu}_A \leftarrow \begin{aligned} L_{\mu\nu}^A i \varepsilon^{\mu\nu\rho\sigma} q_\rho S_\sigma &= 8EE' \sin^2 \frac{\theta_e}{2} S \cdot (k + k') \\ L_{\mu\nu}^A (-i) \varepsilon^{\mu\nu\rho\sigma} q_\rho P_\sigma &= -8EE' \sin^2 \frac{\theta_e}{2} P \cdot (k + k') \end{aligned}$$



$$L_{\mu\nu}^A W^{\mu\nu}_A = \frac{8EE'}{M^2} \sin^2 \frac{\theta_e}{2} \left[ \left( G_1 + \frac{P \cdot q}{M^2} G_2 \right) S \cdot (k + k') - \frac{S \cdot q}{M^2} G_2 P \cdot (k + k') \right]$$

## Sezione d'urto

$$\begin{cases} k = (E, 0, 0, E) \\ k' = (E', E' \sin \theta_e, 0, E' \cos \theta_e) \\ \hat{S} = (0, \sin \alpha \cos \phi, \sin \alpha \sin \phi, \cos \alpha) \end{cases} \quad \text{coplanar} \rightarrow \phi = 0$$

$$S \cdot (k + k') = -E' (\cos \theta_e \cos \alpha + \sin \theta_e \sin \alpha) - E \cos \alpha$$

$$P \cdot (k + k') = M (E + E')$$

$$S \cdot q = E' (\cos \theta_e \cos \alpha + \sin \theta_e \sin \alpha) - E \cos \alpha$$



$$\frac{d\Delta\sigma^h}{dE'd\Omega} = -h \frac{2\alpha^2}{Q^2} \frac{1}{M^2} \frac{E'}{E} \left\{ \underline{\cos \alpha} \left[ (E + E' \cos \theta_e) G_1 - \frac{Q^2}{M} G_2 \right] + E' \sin \theta_e \underline{\sin \alpha} \left( G_1 + \frac{2E}{M} G_2 \right) \right\}$$



$$\alpha = 0 \Leftrightarrow S \parallel k$$

$$\alpha = \pi/2 \Leftrightarrow S \perp k$$